



БИООРГАНИЧЕСКАЯ ХИМИЯ

том 11 * № 8 * 1985

УДК 577.413.6 : 547.963.32.057 : 542 (953+973)

ПРИМЕНЕНИЕ КИСЛОРОДНУКЛЕОФИЛЬНЫХ КАТАЛИЗАТОРОВ ДЛЯ БЫСТРОГО СИНТЕЗА ОЛИГОДЕЗОКСИРИБОНУКЛЕОТИДОВ ФОСФОТРИЭФИРНЫМ МЕТОДОМ

Ефимов В. А., Чахмаччева О. Г.

*Институт биоорганической химии им. М. М. Шемякина
Академии наук СССР, Москва*

Проведено дальнейшее усовершенствование фосфотриэфирного метода синтеза олигонуклеотидов, позволившее в несколько раз увеличить скорость синтеза в растворе и на полимерных носителях. Разработанная методология основана на использовании в качестве конденсирующих реагентов для создания межнуклеотидной связи арилсульфонилхлоридов и их производных в присутствии кислороднуклеофильных катализаторов — 4-замещенных производных N-окисей пиридина и хинолина. Показаны преимущества применения O-нуклеофильных катализаторов в отношении уменьшения количества побочных процессов. Эффективность быстрого фосфотриэфирного метода продемонстрирована на примере успешного синтеза ряда олигодезоксирибонуклеотидов длиной до 20 мононуклеотидных звеньев.

В последние годы доступность синтетических фрагментов нуклеиновых кислот играет все возрастающую роль при проведении целого ряда молекулярно-биологических исследований, в особенности работ в области рекомбинантных ДНК. Наличие синтетических олиго- и полинуклеотидов предоставляет исследователю практически неограниченные возможности для создания новых искусственных генетических структур, для направленного мутагенеза природных генов и проведения экспериментов по белковой инженерии. Оно способствует также дальнейшему изучению структуры и функции нуклеиновых кислот и белков.

В современном олигонуклеотидном синтезе наибольшее распространение получили триэфирный подход, в частности его фосфатная и фосфитная разновидности [1]. Обе эти методологии разработаны в настоящее время настолько, что позволяют в достаточно сжатые сроки получать олигомеры длиной в 15–20 мономерных звеньев, которые наиболее часто используются в молекулярно-биологических исследованиях, а также более длинные одноцепочечные молекулы. Однако, несмотря на достигнутые успехи, как фосфитный, так и фосфатный методы продолжают постоянно совершенствоваться в направлении увеличения скорости и упрощения процедуры синтеза и очистки олигонуклеотидов.

Ранее нами был разработан ускоренный вариант фосфотриэфирного подхода, основанный на использовании для создания межнуклеотидной связи арилсульфонилхлоридов в присутствии эффективного нуклеофильного катализатора — 1-метилимидазола (I) [2]*. Позже было показано, что наряду с арилсульфонилхлоридами в сочетании с 1-метилимидазолом могут также использоваться арилсульфонил-3-нитро-1,2,4-триазолиды [3]. Применение 1-метилимидазола в фосфотриэфирном методе сделало возможным проведение межнуклеотидных конденсаций не только в пиридине, который является традиционным растворителем для олигонуклео-

Приятные сокращения: ClPh — *n*-хлорфенил, MSCl — мезитиленсульфонилхлорид, MSNT — мезитиленсульфонил-3-нитро-1,2,4-триазолид, TPSCl — 2,4,6-триизопропилбензосульфонилхлорид, BT — бензотриазол, NC — нуклеофильный катализатор. Префикс «d» (дезокси) для краткости опущен.

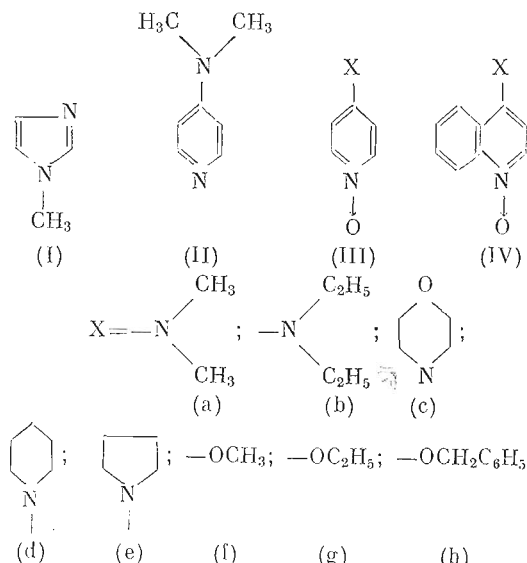
* В то же время было показано, что 4-диметиламинопиридин (II) также является эффективным нуклеофильным катализатором в этих реакциях. Однако большое количество побочных продуктов, образующихся при его применении, не дало возможности использовать его в синтезе достаточно длинных олигонуклеотидов [2, 4].

тидного синтеза, но и в целом ряде других органических растворителей, таких, как ацетонитрил, нитрометан, хлористый метилен, дихлорэтан, хлороформ, диоксан и др. Разработанный метод исключал также использование производных триазола и тетразола в качестве фосфорилирующих реагентов при приготовлении соответствующим образом защищенных мононуклеотидов [4].

Эффективность метилимидазолидного метода в растворе и на полимерных носителях была доказана успешным синтезом большого числа олигодезоксирибонуклеотидов в различных лабораториях [3, 5–7]. Применение этого метода в твердофазном варианте олигонуклеотидного синтеза позволяет за несколько часов синтезировать 16–20-звенные олигонуклеотиды исходя из моно- и динуклеотидов. При этом продолжительность одного цикла царащивания составляет ~25–30 мин.

В продолжение исследований по усовершенствованию фосфотриэфирного метода синтеза нами был предпринят поиск более мощных, чем 1-метилимидазол, нуклеофильных катализаторов, которые позволили бы еще более увеличить скорость создания фосфотриэфирной связи и уменьшить количество побочных продуктов, связанных с модификацией гетероциклических оснований, которые затрудняют очистку целевых продуктов.

Недавно в литературе появилось сообщение, что N-окиси пиридинов являются в 50–100 раз более эффективными катализаторами в реакциях аминолиза производных карбоновых и арилсульфоновых кислот, чем соответствующие им пиридиновые основания [8]. Как показали проведенные нами эксперименты (см. ниже), применение аналогичных кислороднуклеофильных катализаторов на основе 4-замещенных производных N-окиси пиридина (III) и хинолина (IV) в реакциях образования фосфотриэфирной связи приводит к значительному ускорению также и этих реакций. Межнуклеотидные конденсации в растворе под действием таких реагентов, как арилсульфонилхлориды или арилсульфонилнитротриазолиды, в присутствии соединений типа (III) заканчиваются примерно за 1 мин, что в несколько раз быстрее, чем с (I) или (II).



Сравнительный анализ скорости реакции межнуклеотидной конденсации в присутствии 1-метилимидазола и катализаторов типа (III) и (IV) проводили на примере получения тринуклеотида $[(MeO)_2Tr]anCp(ClPh)Tr(ClPh)T(Bz)$ из мономера $[(MeO)_2Tr]anCp(ClPh)$ или его 3'-Р-бензотриазолида [9] (Р-компонент) и динуклеотидмонофосфата $Tr(ClPh)T(Bz)$. В реакцию вводили 1,3-кратный избыток Р-компонента относительно OH-компонента, а также 2-кратный избыток конденсирующего реагента и 4-кратный избыток нуклеофильного катализатора относитель-

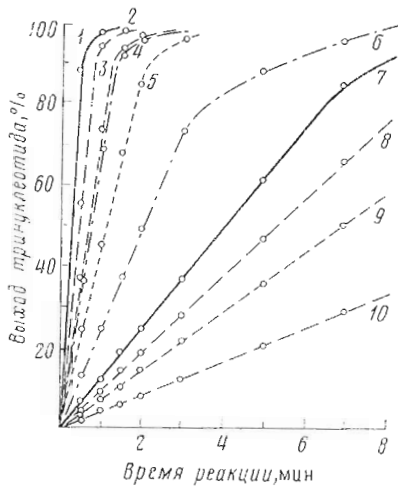


Рис. 1

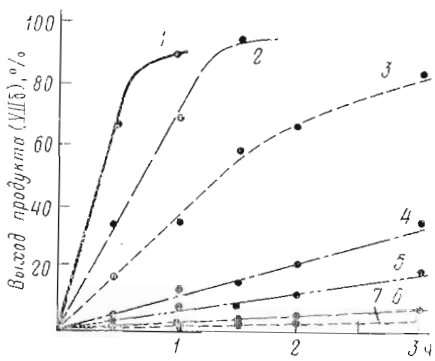


Рис. 3

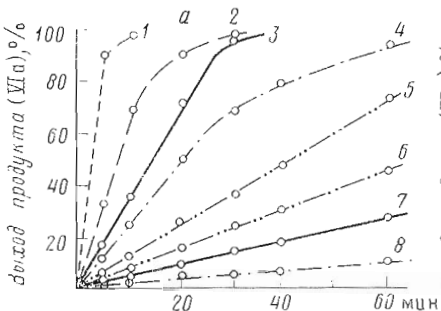


Рис. 2

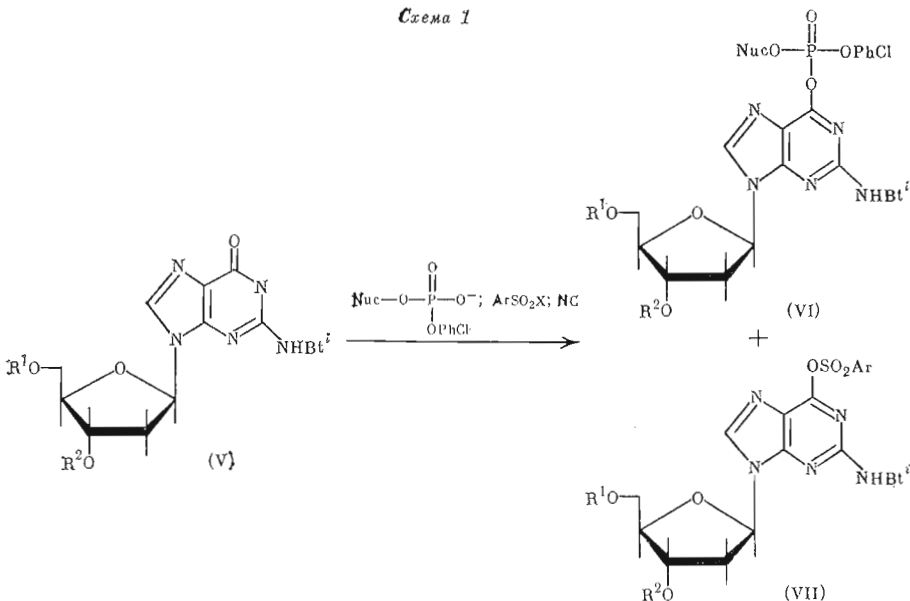
Рис. 1. Скорости конденсации $\text{Tp}(\text{ClPh})\text{T(Bz)}$ с $[(\text{MeO})_2\text{Tr}]an\text{Cp}(\text{ClPh})$ или его 3'-Р-бензтиазолидом (4, 6) в CH_2Cl_2 или пиридине (10) с использованием различных конденсирующих реагентов и NC : 1 – $\text{MSCl} + (\text{IIa})$, 2 – $\text{MSNT} + (\text{IIIa})$, 3 – $\text{TPSCl} + (\text{IIIa})$, 4 – (IIa) , 5 – $\text{TPSCl} + (\text{IVa})$, 6 – (1), 7 – $\text{MSCl} + (\text{I})$, 8 – $\text{MSNT} + (\text{I})$, 9 – $\text{TPSCl} + (\text{I})$, 10 – MSNT . Концентрации реагентов и условия проведения реакций приведены в «Экспер. части»

Рис. 2. О⁶-Фосфорилирование 0,05 М $(\text{Ac})ib\text{G}(\text{Ac})$ (Va) при действии 0,1 М $[(\text{MeO})_2\text{Tr}]an\text{Cp}(\text{ClPh})$ (а) или 0,1 М бензтиазолида $[(\text{MeO})_2\text{Tr}]an\text{Cp}(\text{ClPh})$ (BT) (б) в присутствии различных конденсирующих агентов (0,2 М) и NC – а) в CH_2Cl_2 или пиридине (3, 5), [NC] 0,4 М: 1 – $\text{TPSCl} + (\text{II})$, 2 – $\text{TPSCl} + (\text{I}) + 0,6$ М Et_3N , 3 – $\text{TPSCl} + (\text{I})$, 4 – $\text{TPSCl} + (\text{I})$, 5 – $\text{MSNT} + (\text{I})$, 6 – $\text{MSNT} + (\text{I})$, 7 – $\text{MSNT} + (\text{IIa})$, 8 – $\text{TPSCl} + (\text{IIa})$; б) в CH_2Cl_2 , [NC] 0,3 М: 1 – (II), 2 – (I) + Et_3N , 3 – (I), 4 – (IIa)

Рис. 3. О⁶-Сульфонилирование $[(\text{MeO})_2\text{Tr}]ib\text{G}(\text{Ac})$ (Vb) в CH_2Cl_2 под действием 0,2 М конденсирующего реагента в присутствии 0,4 М NC: 1 – $\text{TPSCl} + (\text{II})$, 2 – $\text{TPSCl} + \text{Et}_3\text{N}$, 3 – $\text{MSNT} + \text{Et}_3\text{N}$, 4 – $\text{TPSCl} + (\text{I})$, 5 – $\text{MSNT} + (\text{I})$, 6 – $\text{MSCl} + (\text{IIa})$, 7 – $\text{TPSCl} + (\text{IIa})$

но Р-компоненты. В качестве растворителя использовали дихлорметан. Наибольшая скорость реакции наблюдалась при применении в качестве конденсирующего реагента смеси катализатора (IIa) с мезитилипесульфохлоридом, несколько меньшая – при использовании смеси того же катализатора с триизопропилбензольсульфохлоридом (рис. 1). Однако и в последнем случае реакция завершалась менее чем за 2 мин. В тех же условиях межнуклеотидная конденсация в присутствии метилимидазола в зависимости от характера арилсульфонилхлорида завершалась за 10–15 мин. Подобно этому замена 1-метилимидазола на О-пуклеофильные катализаторы при образовании фосфотриэфирной связи через бензтиазольные производные нуклеотидов также в 3 раза повышает скорость синтеза (рис. 1, 4, 6).

Схема 1



а: $\text{R}^1=\text{R}^2=\text{Ac}$, б: $\text{R}^1=\text{Ac}$, $\text{R}^2=(\text{MeO})_2\text{Tr}$; Bt^i – изобутирил, Nuc – блокированный остаток нуклеозида, $\text{X}=\text{Cl}$ или 3-нитро-1,2,4-триазолил

Сравнение относительной мощности О-нуклеофильных катализаторов (III), (IV) показало, что скорость реакции конденсации мало зависит от структуры заместителя «Х» в 4-м положении N-окиси пиридина, хотя скорость реакции в присутствии алкооксипроизводных (f–h) в некоторых растворителях все же несколько выше. В то же время конденсации в присутствии производных хинолина (IV) проходят в несколько раз медленнее. Следует отметить, что, несмотря на свою относительно низкую основность ($pK_a \sim 2-4$) (для катализаторов (I), (II) $pK_a=7,3$ и 9,61 соответственно), N-окиси (III) и (IV) способны обеспечить помимо нуклеофильного катализа связывание кислот, выделяющихся в процессе образования фосфотриэфирной связи. Поэтому так же, как и в случае 1-метилимидазола, проведение межнуклеотидных конденсаций в их присутствии может быть осуществлено не только в пиридине, но и в целом ряде органических растворителей. Однако следует учитывать, что растворимость соединений (III) и (IV) в этих растворителях различна. Например, N-окись 4-морфолинопиридина (IIIc) хорошо растворима как в хлорированных углеводородах, так и в пиридине. В то же время N-окись 4-диметиламинопиридина (IIa) хорошо растворяется в хлористом метилене, но плохо в пиридине.

Одним из побочных процессов в синтезе олигонуклеотидов фосфотриэфирным методом является модификация гетероциклических оснований [10]. Хотя эти реакции обычно протекают необратимо всего на несколько процентов за время одной межнуклеотидной конденсации, в течение синтеза всего олигонуклеотида от стадии к стадии побочные соединения накапливаются и в конечном счете сильно затрудняют выделение целевого соединения. В особенности это проявляется при проведении полимерного синтеза, где используются большие избытки Р-компоненты и конденсирующего реагента при большей продолжительности всех реакций.

Изучение степени модификации гетероциклических оснований проводили на примере 3',5'-O- и N²-защищенного дезоксигуанозина. Исследовались реакции O⁶-фосфорилирования и O⁶-сульфонилирования, протекающие при действии активированного Р-компонента межнуклеотидной конденсации в присутствии избытка конденсирующего реагента [10–12] (схема 1). При изучении реакции фосфорилирования гетероциклического кольца 3',5'-ди-O-ацетил-N²-изобутирилдезоксигуанозина (Va) 0,1 М рас-

творм активированного мономерного Р-компонентата $[(\text{MeO})_2\text{Tr}]\text{anCp}(\text{ClPh})$ в присутствии 0,4 М растворов 1-метилимидазола (I), 4-диметиламино-пиридина (II) и N-окиси 4-диметиламиноиридида (IIIa) установили, что наибольшая скорость этой реакции наблюдалась при использовании в качестве конденсирующего реагента смеси арилсульфонилхлорида с катализатором (II) (рис. 2a). Уже через 10 мин проходило практически количественное фосфорилирование гетероцикла. Под действием того же арилсульфонилхлорида в сочетании с 1-метилимидазолом для завершения этой реакции требовалось более 60 мин, а в сочетании с N-окисью (IIIa) за то же время O^6 -фосфорилирование остатка гуанина проходило только на 10%. Наименьшая степень протекания этой реакции наблюдалась при взаимодействии нуклеозида (Va) с бензтриазолидом Р-компонента в присутствии соединения (IIIa). В этом случае O^6 -фосфорилированный продукт (VI) можно было получить с выходом 10% только при выдержке свыше 3 ч (рис. 2б).

O^6 -Сульфонилирование изучали на 3'-О-ацетил-5'-О-диметокситритилен-N²-изобутирилдезоксигуанозине (Vb). Использовали 0,2 М раствор арилсульфонилхлорида или -нитротриазолида в хлористом метилене (рис. 3). Здесь наблюдалась та же тенденция: наибольшая скорость сульфонилирования была в присутствии соединения (II) (90% менее чем за 1 ч), наименьшая — с О-нуклеофильным катализатором (IIIa) (<1% за 1 ч).

Полученные результаты показывают также, что степень прохождения побочных реакций модификации гетероциклов нуклеозидов сильно зависит от основности среды, а следовательно, и от основных свойств нуклеофильного катализатора. Это подтверждается экспериментами, в которых в реакционную среду наряду с нуклеофильным катализатором и конденсирующим реагентом прибавлялся триэтиламин. Как можно видеть из рис. 2 и 3, скорость побочных реакций фосфорилирования и сульфонилирования гетероцикла при этом возрастала примерно в 2–3 раза. При проведении реакций в пиридине количество побочных продуктов также несколько увеличивалось. Поскольку N-окиси пиридинов являются значительно более слабыми основаниями, чем соответствующие им пиридины

Таблица 1
Синтетические олигонуклеотиды, полученные с помощью
О-нуклеофильных катализаторов

Длина цепи	Структура	Носитель *	Цель синтеза	Выход, % **	
				до удаления с носителя	после удаления с носителя, деблокирования и очистки
16	CGTGTAGTAGTCATC	БД	Молекулярный зонд для идентификации гена бычьего родопсина	55	48
17	TATTTTTGCAGGGGGG	ПС	Фрагмент промоторной области λP_L	34	10
20	ATCTGCCGTGATAAATTATC AACATCAGCCTTGTCATC	ИС БД	То же Олигонуклеотид-мутаген для направляемой модификации гена преирионибулина человека	45 40	12,5 15
15	GATCCATGGTGGTCA	БД	Фрагмент промоторной области λP_L	59	20
13	AATCCCCCTGCC	СИ	То же	63	21

* БД — бумажные диски, ПС — пористое стекло, СИ — силикагель.

** В расчете на первый нуклеозид, присоединенный к носителю.

($\Delta pK_a \approx 4-6$), они, видимо, в минимальной степени способствуют прохождению подобных побочных реакций.

Другая побочная реакция, наблюдаемая обычно при использовании производных арилсульфокислот в качестве конденсирующих реагентов для олигонуклеотидного синтеза, заключается в сульфонилировании 5'-гидроксила пуклеозидного компонента. Сравнение скоростей сульфонилирования под действием арилсульфохлоридов в присутствии 1-метилимидазола и N-оксидов (III) и (IV) показало, что в случае N-оксидов реакция протекает быстрее. Однако в условиях нормальной межнуклеотидной конденсации количество сульфонилированного продукта в присутствии (III) или (IV) практически такое же, как и с метилимидазолом. Так, за время прохождения конденсации (обычно 10–15 мин) с применением метилимидазола и мезитиленсульфохлорида образуется ~1% 5'-сульфонилированного продукта, а в присутствии мезитиленсульфохлорида и (IIIa) то же количество побочного продукта (~1%) образуется в течение 1 мин, необходимой для завершения межнуклеотидной конденсации с этим нуклеофильным катализатором.

В настоящее время наиболее быстрым и наименее трудоемким способом получения олигонуклеотидов является полимерный синтез. С помощью О-нуклеофильных катализаторов нами был получен на полимерных носителях целый ряд олигомеров с длиной цепи от 13 до 20 мономерных звеньев (некоторые из них приведены в табл. 1). Олигонуклеотидные блоки для наращивания цепи, несущие 3'-концевую фосфодиэфирную группировку, и защищенные мононуклеотиды синтезировали, как описано ранее [4]. Полинуклеотидную цепь удлиняли от 3'- к 5'-концу последовательным прибавлением предварительно приготовленных Р-компонентов реакции к закрепленному на смоле пуклеозиду, имеющему свободный 5'-гидроксил (схема 2). Синтез проводили на полимерах ненабухающего типа на основе стекла и силикагеля, а также на дисках из бумаги Ватман ЗММ [7]. Первый пуклеозид присоединяли к носителю в соответствии с процедурой, описанной нами ранее [6]. На каждой стадии использовали 5–10-кратный избыток Р-компонента относительно присоединенного к смоле OH-компонента. Реакции конденсации осуществляли в присутствии 2-кратного избытка арилсульфонилхлорида и 4-кратного избытка нуклеофильного катализатора относительно Р-компонента. Условия проведения реакций и типичные циклы обработки полимеров приведены в табл. 2.

Применение О-нуклеофильных катализаторов (III) в полимерном олигонуклеотидном синтезе позволило сократить время, требующееся для проведения одного цикла наращивания цепи, до 10 мин. При этом реакции межнуклеотидных конденсаций с 0,1 М растворами Р-компонента заканчиваются за 2–5 мин и проходят с практически количественным

Таблица 2

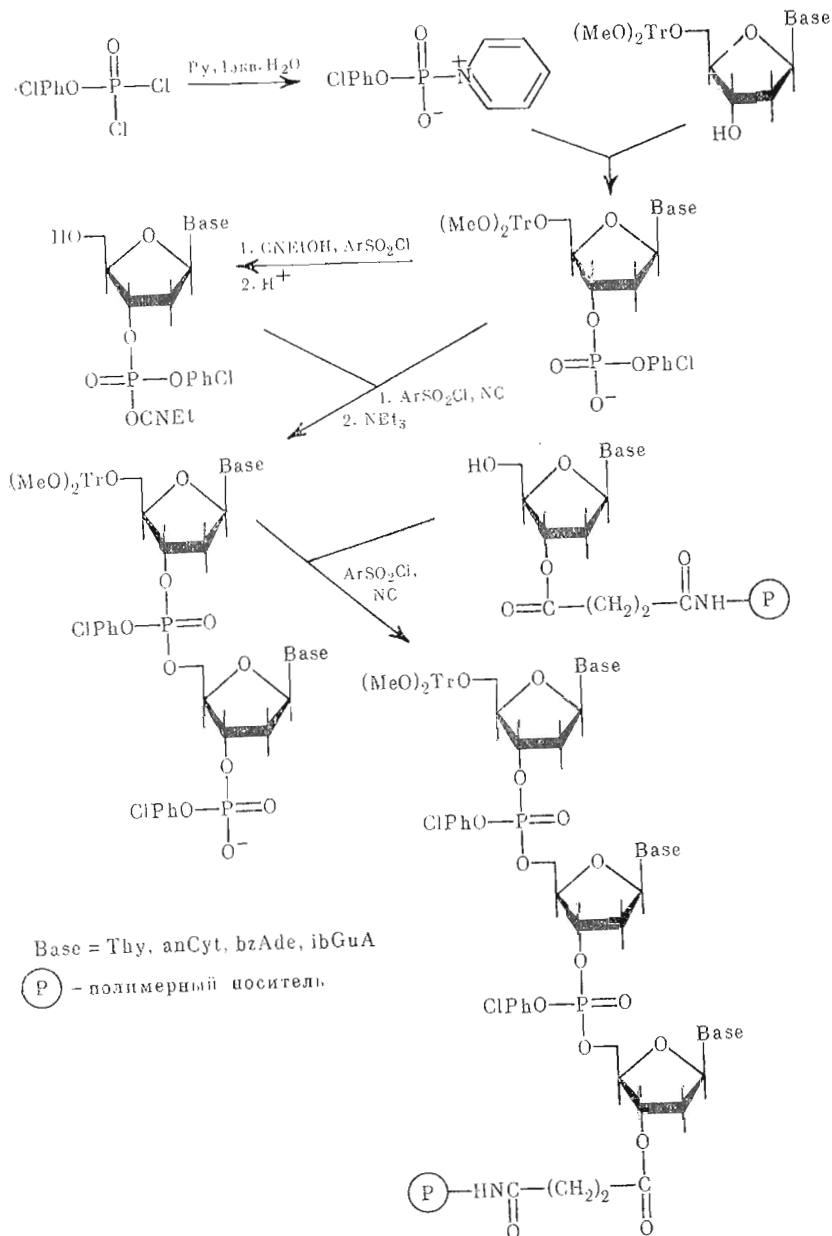
Последовательность операций в одном цикле наращивания при синтезе олигонуклеотидов на полимерных носителях

Номер стадии	Название	Реагенты и растворители *	Время, мин
1	Удаление $(\text{MeO})_2\text{Tr}$ -группы	CHCl_2COOH в $\text{C}_2\text{H}_4\text{Cl}_2$ или CF_3COOH в смеси $\text{C}_2\text{H}_4\text{Cl}_2 - \text{CH}_3\text{CN}$ (7 : 3), 5–7 мл	1–1,5
2	Промывка	$\text{C}_2\text{H}_4\text{Cl}_2$, 5 мл	4
3	Конденсация	Реакционная смесь **, 0,3 мл	2
4	Промывка	$\text{C}_2\text{H}_4\text{Cl}_2$, 5 мл	2–5

* Вместо дихлорэтана может быть использован хлороформ, дихлорметан или ацетонитрил.

** Нуклеотидный компонент (30 мкмоль) высушивали упариванием с безводным растворителем, прибавляли раствор арилсульфонилхлорида или арилсульфонилтриатиазолида (60–75 мкмоль) и NC (120–150 мкмоль) в том же растворителе и реакционную смесь прибавляли к 100 мкмоль полимера на основе стекла или силикагеля с иммобилизованным пуклеозидом (20–50 мкмоль пуклеозида/г) (или к 5–10 бумажным дискам). При работе с бумажными дисками межнуклеотидные конденсации проводили в пиридине.

Схема 2



выходом. Время реакции несколько зависит от характера полимерного носителя и силы конденсирующего реагента. Количество присоединенного к смоле цуклеозида и выходы на каждой стадии синтеза определяли спектрофотометрическим анализом диметокситритилкатиопа. Удаление олигонуклеотидов с носителя и их деблокирование после окончания синтеза проводили в три этапа, как описано ранее [4, 6]. Деблокированные олигонуклеотиды выделяли препаративным гель-электрофорезом. Индивидуальность синтезированных соединений доказывали обращенно-фазовой хроматографией на колонках с Zorbax C-8, а после введения ^{32}P -метки – гель-электрофорезом в денатурирующих условиях. Структуру полученных соединений подтверждали методом химических модификаций. На рис. 4 приведены хроматограммы, полученные при анализе гомогенности двух олигонуклеотидов обращенно-фазовой хроматографией.

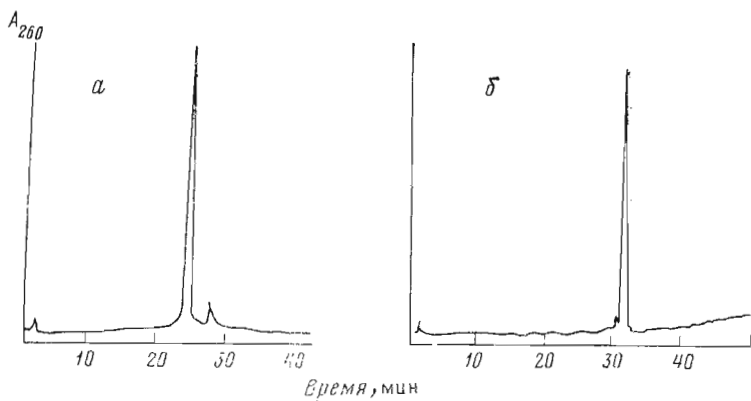


Рис. 4. Проверка гомогенности олигонуклеотидов обращенно-фазовой хроматографией на колонке с Zorbax C-8 (4×250 мм) в градиенте концентрации метанола (5–35%) в 0,1 М ацетате аммония. Скорость элюции 1 мл/мин: *a* – CGTGTAGTAGTCAATC; *b* – AACATCAGCCTTGTCATC

Таким образом, разработанный быстрый фосфотриэфирный метод, включающий в себя использование для создания межнуклеотидной связи стандартных конденсирующих реагентов в присутствии сильных нуклеофильных катализаторов – производных N-окиси пиридина (III) или N-окиси хинолина (IV), значительно сокращает время, необходимое для проведения синтеза каждого отдельного олигонуклеотида.

Выходы олигонуклеотидов, полученных с применением О-нуклеофильных катализаторов, не уступают выходам, получаемым обычно при работе с 1-метилимидазолом (I). В то же время ввиду низкой степени модификации гетероциклических оснований нуклеозидов в присутствии соединений (III) и (IV) устраняется необходимость введения дополнительных защитных групп в гетероциклы исходных мономеров, что предлагалось различными исследователями для предотвращения протекания побочных реакций в классическом варианте фосфотриэфирного подхода [10].

До последнего времени наиболее скоростным методом синтеза олигонуклеотидов на полимерных носителях являлся триэфирный фосфитный [13]. Однако в результате проведенных усовершенствований быстрый фосфотриэфирный метод не уступает фосфитному по скорости (время межнуклеотидной конденсации на полимерных носителях в присутствии О-нуклеофильных катализаторов в зависимости от применяемого конденсирующего агента составляет 2–5 мин). Кроме того, как уже было показано ранее [2], при его применении упрощается обслуживание процесса синтеза, поскольку имеется возможность проведения всех реакций синтетического цикла на полимере в одном и том же растворителе.

Экспериментальная часть

В работе использовали дезоксирибонуклеотиды (Sigma, США), 2,4,6-триизопропилбензолсульфохлорид, мезитиленсульфохлорид, 1-метилимидазол, 4-диметиламинопиридин (Merck, ФРГ), пластины с силикагелем для ТСХ UV₂₅₄ (Eastman Kodak, США). Защищенные нуклеозиды синтезировали, как описано в работе [4]. 4-Замещенные производные N-окиси пиридина (III) получали согласно [14]. ТСХ на силикагеле проводили в системе хлороформ – метanol (19 : 1). Синтез хлорфениловых эфиров мононуклеотидов осуществляли, как описано ранее [4].

Обращенно-фазовую хроматографию под высоким давлением проводили на приборе Du Pont Preparative HPLC System 830 (США). 5'-³²P-меченные препараты олигонуклеотидов получали с помощью [γ -³²P]ATP (Amersham, Англия) и T4 полинуклеотидкиназы (P-L Biochemicals, США) [4]. Структуры ³²P-меченых олигонуклеотидов подтверждали методом химических модификаций [15].

Полимерные носители на основе стекла (long chain alkyl amine pore glass (Pierce, США), 0,05 ммоль нуклеозида/г) и силикагеля Porasil B (Waters, США; 0,08 ммоль нуклеозида/г) функционализировали, как описано ранее [6], а диски из бумаги Ватман ЗММ (диаметр 4–5 мм) — согласно [7].

Твердофазный синтез олигонуклеотидов проводили в основном соответственно [6]. Последовательность операций и количества реагентов приведены в табл. 2.

Выделение олигонуклеотидов после удаления защитных групп осуществляли гель-электрофорезом в 20% поликариламидном геле, содержащем 7 М мочевину [4, 6]. В качестве электродного буфера использовали 0,05 М трис-борат (pH 8,3) — 1 mM EDTA. Зоны, содержащие олигонуклеотиды, обнаруживали с помощью УФ-света и вырезали. Гель измельчали и олигонуклеотид элюировали 0,025 М TEAB. Элюат упаривали, остаток обессоливали гель-фильтрацией на сефадексе G-50 (Pharmacia, Швеция). Синтез бензтриазолида $[(\text{MeO})_2\text{Tr}]\text{anCp}(\text{ClPh})$ (BT) осуществляли согласно [9].

Ацетилирование $[(\text{MeO})_2\text{Tr}]ibG$ и ibG проводили в хлористом метилене, прибавляя 10-кратный избыток уксусного ангидрида и 1-метилимида золя. Спустя 10 мин при охлаждении до 0°С прибавляли избыток метанола и после нагревания реакционной смеси до 20°С дважды экстрагировали водой. Органический слой упаривали досуха. Выход количественный.

Определение скорости межнуклеотидной конденсации. а) К смеси 0,075 ммоль $\text{Tp}(\text{ClPh})\text{T(Bz)}$, 0,1 ммоль $[(\text{MeO})_2\text{Tr}]\text{anCp}(\text{ClPh})$ и 0,4 ммоль нуклеофильного катализатора (I), (IIIa) или (IVa), предварительно обезвоженной азеотропной отгонкой с хлористым метиленом, прибавляли 0,2 ммоль TPS-Cl или MSNT в 1 мл сухого хлористого метиленса или пиридина. Реакционную смесь выдерживали при 20°С. Через определенные интервалы времени отбирали аликовты реакционной смеси, наносили на пластины с силикагелем и хроматографировали в системе хлороформ — метанол (19 : 1). Пластины опрыскивали 10% HClO_4 , зоны, окрашивающиеся в ярко-оранжевый цвет, вырезали и помещали в пробирки с 3 мл 2% трифтормасляной кислоты в CH_3CN . Измеряли поглощение элюатов при 500 нм. Выход продукта конденсации вычисляли, умножая на 133 отношение поглощения элюата из зоны, содержащей продукт конденсации (R , 0,6), к суммарному оптическому поглощению элюатов всех окрашенных зон. Результаты представлены на рис. 2.

б) К смеси 0,075 ммоль $\text{Tp}(\text{ClPh})\text{T(Bz)}$ и 0,3 ммоль нуклеофильного катализатора (I) или (IIIa), предварительно обезвоженной двукратным упариванием с сухим хлористым метиленом, прибавляли 1 мл 0,1 М раствора $[(\text{MeO})_2\text{Tr}]\text{anCp}(\text{ClPh})$ (BT) в том же растворителе. Реакцию проводили при 20°С. Скорость реакции определяли так же, как в предыдущем опыте.

Определение скорости 6-O-фосфорилирования $(\text{Ac})ibG(\text{Ac})$ (Va).

а) К смеси 0,1 ммоль $[(\text{MeO})_2\text{Tr}]\text{anCp}(\text{ClPh})$, 0,05 ммоль $(\text{Ac})ibG(\text{Ac})$ (Va) и 0,4 ммоль нуклеофильного катализатора (I), (II) или (IIIa), предварительно высушеннной двукратным упариванием с сухим CH_2Cl_2 , прибавляли 0,2 ммоль TPS-Cl или MSNT в 1 мл сухого CH_2Cl_2 или пиридина. В опытах с триэтиламином последний прибавляли перед конденсирующим реагентом. Реакцию проводили при 20°С. Через определенные интервалы времени аликовты реакционной смеси наносили на пластины с силикагелем и хроматографировали в системе хлороформ — метанол (19 : 1). Пластины опрыскивали 10% HClO_4 . Окрашенные зоны, содержащие продукт реакции (VIIa) (R , 0,7) и исходный Р-компонент (R , 0,1), вырезали и помещали в пробирки с 3 мл 2% трифтормасляной кислоты в CH_3CN . Поглощение элюатов измеряли при 500 нм. Выход продукта 6-O-фосфорилирования (VIIa) вычисляли, умножая на 200 отношение оптического поглощения элюата из зоны с R , 0,7 к суммарному оптическому поглощению обоих элюатов. Результаты приведены на рис. 2а.

б) К смеси 0,5 ммоль $(\text{Ac})ibG(\text{Ac})$ (Va) и 0,3 ммоль нуклеофильного катализатора (I), (II) или (IIIa), высушенней двукратным упариванием

с сухим CH_2Cl_2 , прибавляли 1 мл 0,1 М раствора $[(\text{MeO})_2\text{Tr}]an\text{Cp}(\text{ClPh})$ (BT) в CH_2Cl_2 . При необходимости 0,1 ммоль триэтиламина прибавляли перед Р-компонентом. Реакционную смесь выдерживали при 20° С. Скорость реакции определяли как в предыдущем опыте (рис. 2б).

Определение скорости 6-O-сульфонилирования $[(\text{MeO})_2\text{Tr}]ibG(Ac)$ (Vб). К смеси 0,05 ммоль $[(\text{MeO})_2\text{Tr}]ibG(Ac)$ (Vб) и 0,4 ммоль нуклеофильного катализатора (I), (II), (IIIа) или 0,4 ммоль триэтиламина в 1 мл сухого CH_2Cl_2 прибавляли 0,2 ммоль TPS-Cl или MSNT. Реакцию проводили при 20° С. Через определенные интервалы времени аликвоты реакционной смеси наносили на пластины с силикагелем и хроматографировали в системе хлороформ — метанол (49:1). Пластины опрыскивали 10% HgCl_2 . Окрашенные зоны, содержащие продукт реакции (VIIб) (R_f 0,75) и исходный нуклеозид (Vб) (R_f 0,5), вырезали и помещали в пробирки с 3 мл 2% CF_3COOH в CH_3CN . Поглощение элюатов измеряли при 300 нм. Выход продукта 6-O-сульфонилирования вычисляли, умножая на 100 отношение оптического поглощения элюата из зоны с R_f 0,75 к суммарному оптическому поглощению обоих элюатов. Результаты приведены на рис. 3.

Авторы глубоко признательны акад. Ю. А. Овчинникову за постоянную помощь в работе и обсуждение полученных результатов.

ЛИТЕРАТУРА

1. Ohtsuka E., Ikehara M., Soll D. Nucl. Acids Res., 1982, v. 10, № 21, p. 6553–6570.
2. Efimov V. A., Reverdatto S. V., Chakhmakhcheva O. G. Tetrahedron Lett., 1982, v. 23, № 9, p. 961–964.
3. Sproat B. S., Bannwarth W. Tetrahedron Lett., 1983, v. 24, № 51, p. 5771–5774.
4. Efimov V. A., Reverdatto S. V., Chakhmakhcheva O. G. Nucl. Acids Res., 1982, v. 10, № 21, p. 6675–6694.
5. Добрынин В. Н., Филиппов С. А., Быстров И. С., Северцова И. В., Колосов М. Н. Биоорганическая химия, 1983, т. 9, № 5, с. 706–710.
6. Efimov V. A., Buryakova A. A., Reverdatto S. V., Chakhmakhcheva O. G., Ovchinnikov Yu. A. Nucl. Acids Res., 1983, v. 11, № 23, p. 8369–8387.
7. Matthes H. W. D., Zenke W. M., Grundstrom T., Staub A., Wintzerith M., Chambon P. EMBO Journal, 1984, v. 3, № 4, p. 801–805.
8. Савелова В. А., Белоусова И. А., Литвиненко Л. М., Яковец А. А. Докл. АН ССР, 1984, т. 274, № 6, с. 1393–1398.
9. Marugg J. E., Traup M., Jhuram P., Hoyng C. F., van der Marel J. H., van Boom J. H. Tetrahedron, 1984, v. 40, № 1, p. 73–78.
10. Reese C. B., Ubasawa A. Tetrahedron Lett., 1980, v. 21, № 22, p. 2265–2268.
11. Gaffney B. L., Jones R. A. Tetrahedron Lett., 1982, v. 23, № 22, p. 2257–2260.
12. Reese C. B., Skone P. A. J. Chem. Soc. Perkin Trans. I, 1984, № 6, p. 1263–1271.
13. Barone A. D., Tang J.-J., Caruthers M. H. Nucl. Acids Res., 1984, v. 12, № 10, p. 4051–4061.
14. Ochiai E. J. Org. Chem., 1953, v. 18, № 5, p. 534–551.
15. Maxam A. M., Gilbert W. Methods Enzymol., 1980, v. 65, p. 498–560.

Поступила в редакцию
11.II.1985

USE OF OXYGEN-NUCLEOPHILIC CATALYSTS FOR RAPID SYNTHESIS OF OLIGODEOXYRIBONUCLEOTIDES BY THE PHOSPHOTRIESTER METHOD

EFIMOV V. A., CHAKHMAKHCHEVA O. G.

M. M. Shemyakin Institute of Bioorganic Chemistry, Academy of Sciences
of the USSR, Moscow

Using various condensing agents in conjunction with powerful oxygen-nucleophilic catalysts, such as 4-substituted derivatives of pyridine N-oxide and quinoline N-oxide, leads to dramatic increase of the phosphotriester bond formation rate and minimizes the amount of by-products caused by the modification of heterocyclic bases. These catalysts allow to perform condensations in different organic solvents (acetonitrile, pyridine, dioxane, chloroform, methylene chloride, dichloroethane, etc.). In the presence of O-nucleophilic catalysts, condensations in solution go to a completion in 0,75–3,0 min under the action of mesitylenesulfonyl chloride, mesitylenesulfonyl 3 nitro-1,2,4-triazolide, or triisopropylbenzenesulfonyl chloride. On polymer supports (pore glass or paper disks) the coupling reactions are complete in 2–5 min. Thus, the overall time for the addition of each nucleotide to a growing chain on solid phase is about 10 min. Furthermore, these catalysts increase three-fold the rate of phosphotriester bond formation in the hydroxybenzotriazole approach.